



## تعیین پارامترهای فیزیکی رآکتور زیربحارانی آب سبک برپایه نتایج تجربی و محاسباتی

نورا نصیری مفخم\*، زهرا نصرآزادانی، ژاله صادقزاده

پژوهشکده تحقیقات و توسعه راکتورها و شتابدهندها، پژوهشگاه علوم و فنون هسته‌ای، سازمان انرژی اتمی ایران، صندوق پستی: ۱۴۱۰۵-۱۲۳۹، تهران - ایران

**چکیده:** رآکتور زیربحارانی آب سبک براساس مشخصات هندسی و همچنین مواد ساختاری آن به وسیله‌ی سه کد محاسباتی MCNP4C و CINATION شبیه‌سازی شده، پارامترهای فیزیکی آن از جمله ضریب تکثیر بینهایت، ضریب تکثیر مؤثر، مقدار واکنش‌پذیری چشمی نوترون خارجی، توزیع شعاعی و محوری شار و انحنای شار ووابستگی آنها به موقعیت چشمی خارجی در رآکتور مورد مطالعه و بررسی قرار گرفته است. به منظور بررسی میزان صحت مدل‌ها در شبیه‌سازی رآکتور و همچنین صحت سطح مقطع‌های مؤثر مورد استفاده، مقادیر محاسباتی حاصل از کدهای با یکدیگر و همچنین با نتایج تجربی مقایسه شد که برای مشاهدات تجربی این اختلاف کمتر از ۱۲٪ و نیز ~۵٪ برای کدهای WIMSD5B و CINATION بوده است.

**کلیدواژه‌ها:** رآکتور زیربحارانی آب سبک، کد محاسباتی MCNP4C، کد محاسباتی WIMSD5B و CINATION، پارامترهای فیزیکی

## LWSCR Reactor Parameters Determination Based on Calculation and Experimental Results

N. Nassiri Mofakham\*, Z. Nasr Azadani, J. Sadeghzadeh

Reactor and Accelerator Research and Development School, Nuclear Science and Technology Research Institute, AEOI, P.O.Box: 14155-1239, Tehran – Iran

**Abstract:** This paper is dealing with the reactor parameter determination experiments performed at the light water subcritical reactor (LWSCR) in Esfahan. The parameter determination methods are derived from a theory based on neutron source position. The LWSCR reactor system is modeled by Monte Carlo calculations (MCNP4C), WIMSD5B and CITATION, and the criticality safety and neutron flux distribution problems are presented and analyzed. The analysis of the multiplication factors obtained by MCNP4C are in fairly good agreement with the results obtained by WIMSD5B and CITATION. For the flux distribution calculations, the MCNP4C results differ from the experimental observations by less than 12% and by ~5% for the WIMSD5B and CITATION.

**Keywords:** Light Water Sub-Critical Reactor, MCNP4C Code, WIMSD5B and CITATION Codes, Physical Parameters

\*email: n\_nassiri@entc.org.ir

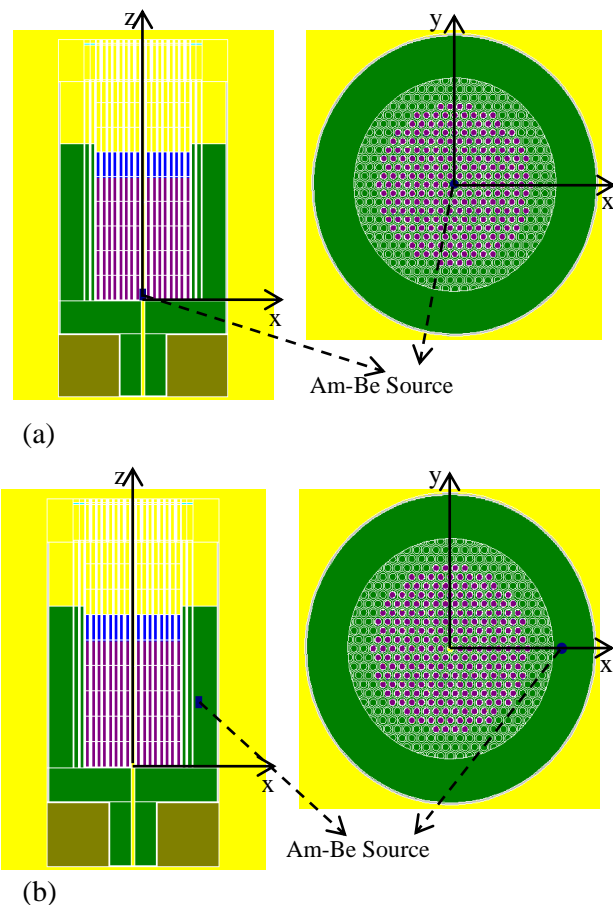
تاریخ دریافت مقاله: ۹۰/۱/۲۲ تاریخ پذیرش مقاله: ۹۰/۱۲/۱۰



## سطح مقطع‌ها، و مدل پراکندگی حرارتی ( $\alpha, \beta$ ) S در محاسبات

استفاده شده است. هم‌چنین مشخصات چشم، نوع خروجی و روش‌های مناسب برای کاهش واریانس، در فایل ورودی MCNP4C تعریف شده است. در شکل ۱ با استفاده از خروجی کد، نمای افقی و جانبی رآکتور برای دو حالت چشمۀ داخل و خارج ناحیه قلب نشان داده شده است.

در اندازه‌گیری پارامترهای فیزیکی رآکتور از دو روش استفاده شده است. در روش اول با استفاده از فعال‌سازی نوترونی، پولک‌های ایندیم و دیسپروسیم در مکان‌های مناسب در رآکتور قرار داده شده و برای مدت زمان کافی پرتودهی شده‌اند. پس از خارج کردن آن‌ها از رآکتور، با استفاده از آشکارساز یدور سدیم و سایر تجهیزات الکترونیکی وابسته، میزان پرتوزایی بتایی و سپس فعالیت اشعای هر یک از پولک‌ها محاسبه شده است. در روش دوم از سیستم آشکارساز  $\text{BF}_3$  برای شمارش نوترون‌ها در مکان‌های مختلف رآکتور استفاده شده است [۳ و ۴].



شکل ۱. مقطع‌های افقی و عمودی رآکتور زیربحارانی آب سبک؛ (a) چشمۀ در داخل قلب، (b) چشمۀ در خارج قلب.

## ۱. مقدمه

رآکتور زیربحارانی آب سبک (LWSCR) واقع در پژوهشکدهی رآکتور اصفهان، تنها رآکتور زیربحارانی آب سبک موجود در کشور می‌باشد. تاکنک این رآکتور به شکل استوانه به شعاع ۷۰ و ارتفاع ۲۰۰ سانتی‌متر و از جنس آلومینیم است. قلب این رآکتور مشکل از میله‌های سوخت اورانیم طبیعی آرایش یافته به صورت شش گوش در شعاعی در حدود ۲۵ سانتی‌متر است. صفحه‌ی نگهدارنده میله‌های سوخت از جنس پلاکسی گلاس است و میله‌های سوخت از میان شبکه‌های این صفحه عبور کرده و به صورت آویزان قرار می‌گیرند. هر میله‌ی سوخت از یک استوانه‌ی آلومینیمی به قطر خارجی  $3/32$  و ارتفاع ۱۰۰ سانتی‌متر تشکیل شده و در داخل آن پنج کپسول سوخت اورانیم طبیعی فلزی، هر یک به قطر ۳ سانتی‌متر و ارتفاع  $20/32$  سانتی‌متر با غلاف آلومینیمی به ضخامت  $11/10$  سانتی‌متر، جای دارد. کندساز این رآکتور، آب سبک و پارافین می‌باشد. از آن‌جا بی که در یک رآکتور زیربحارانی واکنش زنجیره‌ای نمی‌تواند بدون حضور یک چشمۀ خارجی انجام شود، لذا از چشمۀ Am-Be موجود در بخش مهندسی هسته‌ای با فعالیت  $5 \text{ kJ}$  معادل با  $1.1 \times 10^7 \text{ n/s}$  در اندازه‌گیری‌ها و در شبیه‌سازی، استفاده شده است.

## ۲. روش کار

شبیه‌سازی رآکتور زیربحارانی آب سبک، توسط سه کد محاسباتی مختلف انجام شده است. کد محاسباتی MCNP4C با استفاده از روش مونت‌کارلو [۱]، کد محاسبات سلولی WIMSD5B و هم‌چنین کد محاسبات قلب CITATION با استفاده از روش تفاضل جزئی معادله‌ی ترابرد نوترون را حل می‌کنند [۲]. نتایج حاصل از این سه کد با نتایج تجربی مقایسه شده است.

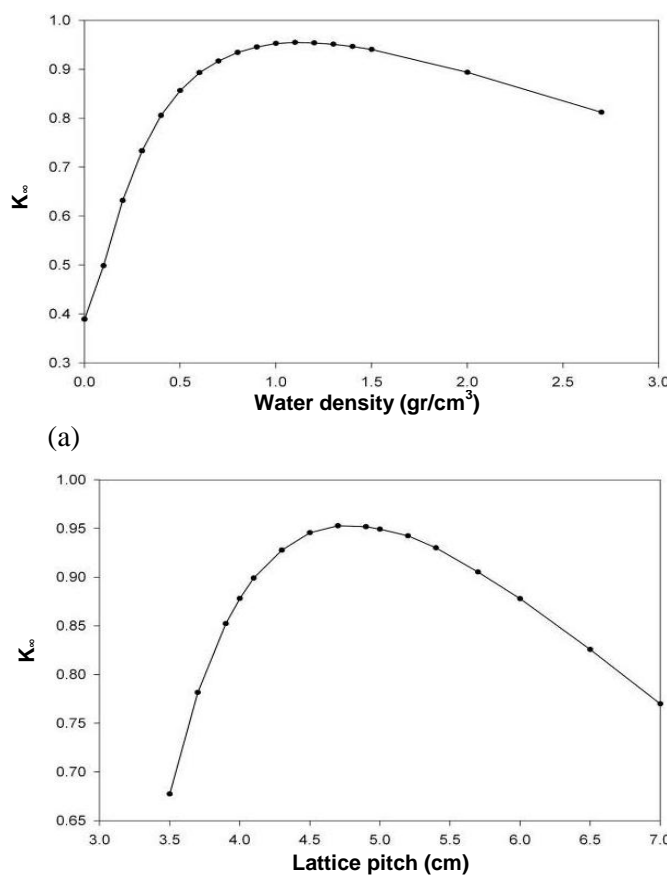
برای شبیه‌سازی رآکتور توسط کدهای MCNP4C و CITATION و WIMSD5B لازم است که مشخصات هندسی رآکتور و هم‌چنین مواد ساختاری مختلف آن برای کد تعريف گردد. در شبیه‌سازی با کد CITATION از سطح مقطع‌های تولید شده توسط کد WIMSD5B، و در شبیه‌سازی با کد MCNP4C از داده‌های کتابخانه‌ای ENDF/B-VI برای



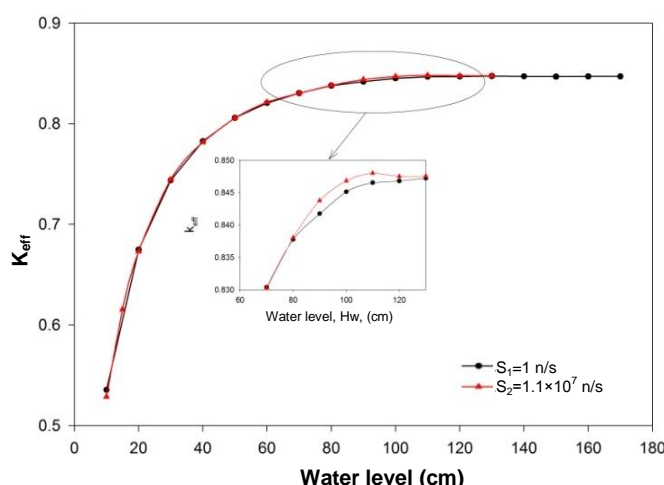
$$\rho_1 = \frac{k_1 - 1}{k_1}$$

$$\rho_2 = \frac{k_2 - 1}{k_2}$$

$$\Delta\rho = \rho_2 - \rho_1 = \frac{k_2 - k_1}{k_2 k_1}$$



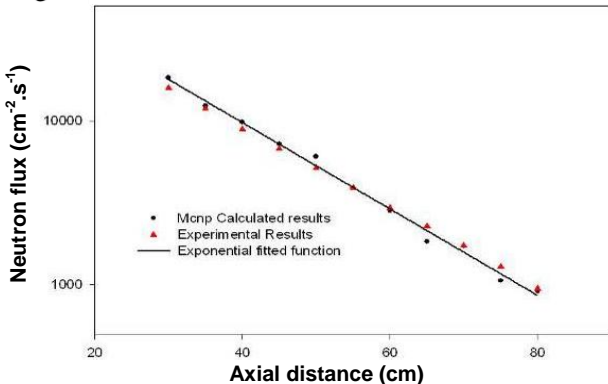
شکل ۲. تغییرات ضریب تکثیر بینهایت بر حسب (a) چگالی آب، (b) گام شبکه.

شکل ۳. تغییرات ضریب تکثیر مؤثر بر حسب ارتفاع آب؛  $S_1$ : بدون چشمه‌ی خارجی،  $S_2$ : با چشمه‌ی خارجی.

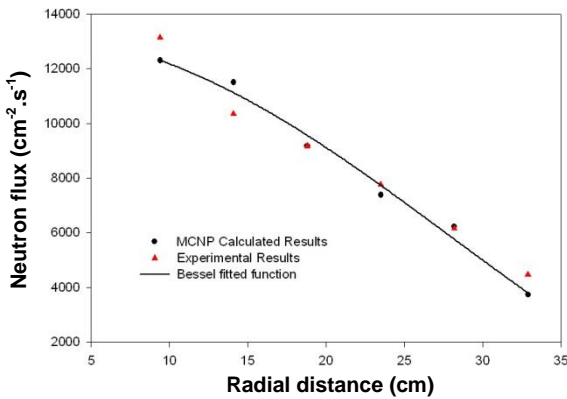
**۳. محاسبه‌ی ضریب تکثیر بینهایت با کد MCNP4C**  
پس از مدل‌سازی مجموعه‌ی رآکتور زیربحارانی آب سبک با کد MCNP4C، با تغییر چگالی کندساز و با استفاده از دستور KCODE، ضریب تکثیر بینهایت در چگالی‌های مختلف محاسبه شده است. تعداد ذرات و تعداد دورها در دستور KCODE، به گونه‌ای تعریف شده است که نتایج از دقت کافی برخوردار باشند. به منظور کاهش خطاهای آماری، هر اجرا چندین مرتبه تکرار شده است. نتایج حاصل در شکل (۳-۲) داده شده است. با افزایش چگالی کندساز از مقدار بسیار ناچیز (هو)  $\text{t} \text{a}^3 1\text{g}/\text{cm}^3$  (چگالی آب)، ضریب تکثیر بینهایت افزایش یافته، به بیشینه مقدار خود رسیده و مجدداً کاهش می‌باید. به بیان دیگر برای چگالی کندساز بیش از  $1\text{g}/\text{cm}^3$ ، ماده‌ی کندساز در سیستم آن قدر زیاد است که میله‌های سوخت به صورت مجزا عمل می‌کنند و در نتیجه  $K_{\infty}$  کاهش می‌باید. در ادامه تغییرات  $K_{\infty}$  بر حسب تغییر گام شبکه محاسبه و نتایج در شکل (۳-۲) نشان داده شده است. همان‌طور که دیده می‌شود  $K_{\infty}$  در گام  $47\text{cm}$  بیشینه مقدار  $0.9528$  را دارد.

**۴. محاسبه‌ی تغییرات ضریب تکثیر مؤثر**  
با استفاده از کد MCNP4C و دستور KCODE، برای دو حالت مختلف با و بدون چشمه‌ی خارجی در قلب رآکتور، تغییرات ضریب تکثیر مؤثر بر حسب ارتفاع آب محاسبه شده است. این تغییرات در شکل ۳ نشان داده شده است. همان‌گونه که انتظار می‌رفت، با افزایش ارتفاع آب رآکتور، ضریب تکثیر مؤثر تا ارتفاع خاصی زیاد شده و پس از آن تغییر قابل ملاحظه‌ای ندارد. بیشینه مقدار  $K_{\text{eff}}$  با حضور چشمه‌ی خارجی، در ارتفاع ۱۱۰ سانتی‌متر و برابر با  $0.873$  و بدون چشمه‌ی خارجی، در ارتفاع ۱۴۰ سانتی‌متر و برابر با  $0.847$  به دست آمد.

ضریب تکثیر مؤثر هم‌چنین با کد CITATION و بدون چشمه‌ی خارجی، برابر با  $0.857$  محاسبه شد. نتایج محاسبات حالت بحرانی رآکتور زیربحارانی آب سبک به وسیله‌ی کدهای محاسباتی، در جدول ۱ با مقادیر تجربی مقایسه شده است که اختلافی در حدود  $2.5\%$  را نشان می‌دهد. با محاسبه‌ی واکنش‌پذیری‌های  $\rho_1$  و  $\rho_2$  به ترتیب برای دو حالت با و بدون چشمه از رابطه‌ی زیر می‌توان مقدار واکنش‌پذیری چشمه را به دست آورد



(a)



(b)

شکل ۴. نتایج محاسباتی و تجربی (چشمہ داخل قلب)، (a) نمودار نیمه لگاریتمی توزیع محوری شار (b) توزیع شعاعی شار.

در حالت دوم، محاسبات برای چشمہ ۵ کوری Am-Be در وضعیت بیرون از قلب رآکتور و در ارتفاع حدود ۸۰ سانتی متر از کف تانک رآکتور تکرار گردید. در این شرایط توزیع شعاعی شار از تابع بسل و توزیع محوری آن از تابع کسینوسی تعیت می کند و در نتیجه تقریب روابط تئوری پخش به خوبی برقرار است. توزیع شعاعی و محوری شار در شکل ۵ نشان داده شده است که در آن قلهٔ آبلدو در آب اطراف قلب به خوبی دیده می شود.

برای محاسبهٔ توزیع شعاعی و محوری شار با کد CITATION، ابتدا نواحی سوخت، قسمت آب بالای سوخت، قسمت پایینی رآکتور و بازتاباندهای آب اطراف رآکتور برای WIMSD5B تعریف و در ورودی این کد داده شد. سپس رآکتور با کد CITATION شبیه سازی و برای سطح مقطع های نواحی مختلف، مطابق جدول ۲، از خروجی کد WIMSD5B استفاده شد. تغییرات شار نوترون تند و گرمایی در راستای محوری و شعاعی رآکتور، در شکل ۶ نشان داده شده است. نتایج به دست آمده برای انحنای شعاعی و محوری شار از برآذش

جدول ۱. ضریب تکثیر مؤثر  $k_{eff}$  رآکتور زیربحارانی آب سبک...

کد / تجربی	MCNP4C (بدون چشمہ خارجی)	MCNP4C (با چشمہ خارجی) $S_{ext}=1\times 10^7 n/s$	WIMSD5B & CITATION (بدون چشمہ خارجی)	WIMSD5B & CITATION (با چشمہ خارجی) $S_{ext}=1\times 10^7 n/s$
$k_{eff}$	$0.847 \pm 0.0004$	$0.873 \pm 0.0004$	$0.857 \pm 0.0002$	$0.895 \pm 0.001$

که در آن  $k_1$  ضریب تکثیر مؤثر بدون چشمہ، و  $k_2$  ضریب تکثیر مؤثر با چشمہ است. نتایج جدول ۱ نشان می دهد که واکنش پذیری چشمہ خارجی برابر با  $(\Delta k/k) = 0.35$  است.

## ۵. محاسبهٔ توزیع شار شعاعی و محوری با کد MCNP4C

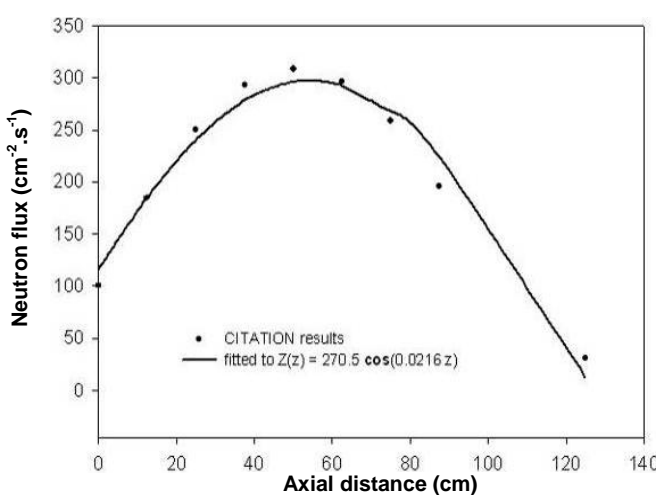
با توجه به این که در رآکتورهای زیربحارانی، توزیع شار و انحنای شار به موقعیت چشمہ در رآکتور بستگی دارد، برای دو موقعیت مختلف چشمہ در درون قلب و چشمہ در بیرون قلب، با حل معادلهٔ پخش نوترون به روش تفکیک متغیرها و اعمال شرایط مرزی، شار نوترون در هر نقطه با استفاده از روابط زیر محاسبه شد [۴ و ۵]:

$$\Phi(\vec{r}) = A J_0(\alpha r) \begin{cases} \exp(-\gamma z) & \text{چشمہ در درون قلب رآکتور:} \\ \cos(\gamma z) & \text{چشمہ در بیرون قلب رآکتور:} \end{cases}$$

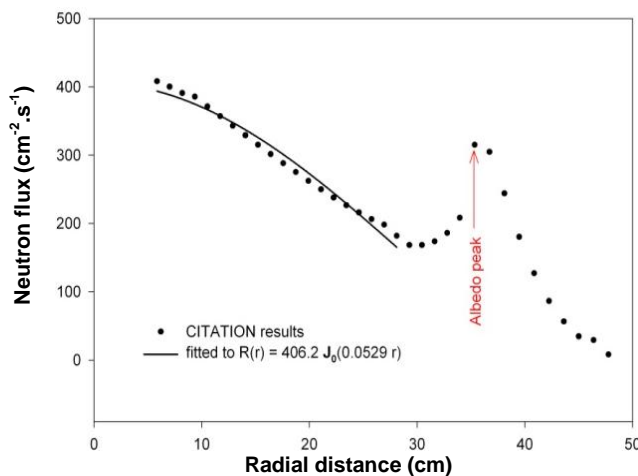
که در آن،  $\alpha$  و  $\gamma$ ، به ترتیب، انحنای شار شعاعی و محوری است. با داشتن  $\alpha$  و  $\gamma$ ، انحنای شار هندسی رآکتور،  $B$ ، به ترتیب برای دو حالت موقعیت چشمہ، از  $\gamma = \alpha \pm B$  به دست می آید. در ادامهٔ محاسبات، با مدل سازی رآکتور توسط کد ترابرد سه بعدی MCNP4C توزیع شعاعی و محوری شار در هر دو حالت چشمہ در داخل و خارج قلب (شکل ۱)، محاسبه شد. ابتدا چشمہ نوترون در ارتفاع صفر (ابتدا سوختها) واقع در مرکز تانک در فایل ورودی تعریف شد. برای توزیع شعاعی شار، خروجی در ارتفاع یکسان و در شعاع یکسان و در ارتفاع های مختلف و برآذش توزیع شعاعی شار با تابع بسل مرتبهٔ صفر، دست آمد. با برآذش توزیع شعاعی شار با تابع بسل مرتبهٔ صفر، پارامتر  $\alpha$  و انحنای شعاعی شار،  $\alpha$ ، و با برآذش توزیع محوری شار با تابع نمایی، پارامتر  $\gamma$  و در نتیجه انحنای محوری شار،  $\gamma$ ، به دست آمد. نتایج حاصل به همراه مقادیر تجربی در شکل ۴ آورده شده‌اند.



داده‌ها با تابع بسل برای توزیع شعاعی، نمایی و کسینوسی برای توزیع محوری و همچنین مقادیر تجربی آن‌ها در جدول ۳ آورده شده است.

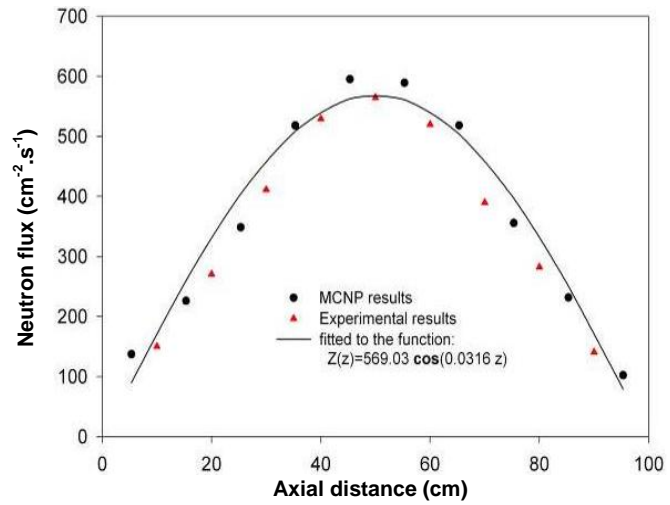


(a)

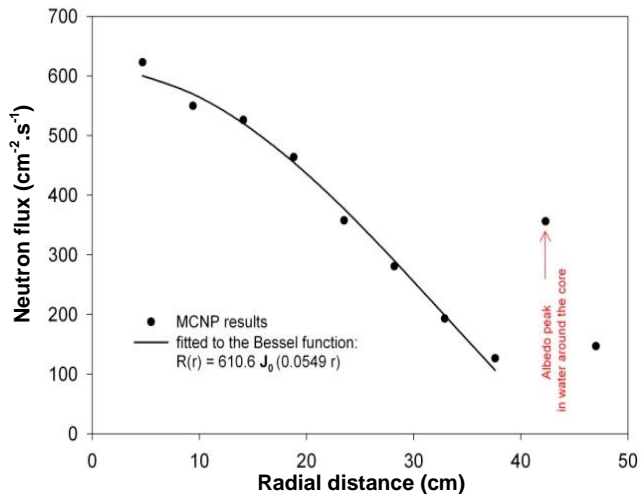


(b)

شکل ۴. نتایج حاصل از کدهای CITATION و WIMSD5B (a) توزیع محوری شار، (b) توزیع شعاعی شار.



(a)



(b)

شکل ۵. مقایسه نتایج محاسباتی و تجربی (چشم خارج از قلب)، (a) توزیع محوری شار (b) توزیع شعاعی شار.

جدول ۲. سطح مقطع‌های تولید شده توسط کد WIMSD5B

کد / تجربی	انحنای محوری شار (cm⁻³)	انحنای شعاعی شار (cm⁻³)
MCNP4C، چشمی داخل قلب	$3.465 \times 10^{-3}$	$3.169 \times 10^{-3}$
رآکتور	$\pm 5\%$	$\pm 7.5\%$
MCNP4C، چشمی خارج قلب	$9.734 \times 10^{-4}$	$3.014 \times 10^{-3}$
رآکتور	$\pm 4.8\%$	$\pm 2.4\%$
WIMSD5B و CITATION	$9.986 \times 10^{-4}$	$2.798 \times 10^{-3}$
CITATION	$\pm 3.7\%$	$\pm 4.7\%$
اندازه‌گیری، چشمی داخل قلب رآکتور	$3.0914 \times 10^{-3}$	$2.796 \times 10^{-3}$
	$\pm 9\%$	$\pm 1\%$

ناحیه	گروه انرژی	$\Sigma_a$	$v\Sigma_f$	$\Sigma_s$
سوخت	تند	$1.1935E-2$	$7.8119E-3$	$2.7758E-2$
	گرمایی	$7.6499E-2$	$8.4805E-2$	$0.0$
مجرای مرکزی	تند	$1.0482E-5$	$0.0$	$1.1642E-7$
	گرمایی	$4.5079E-4$	$0.0$	$0.0$
بازتاباندهی بالای (آب)	تند	$6.5170E-4$	$0.0$	$4.3913E-2$
	گرمایی	$1.8655E-2$	$0.0$	$0.0$
بازتاباندهی اطراف (آب)	تند	$8.2061E-4$	$0.0$	$5.5976E-2$
	گرمایی	$1.9021E-2$	$0.0$	$0.0$
بازتاباندهی پایین (آب)	تند	$1.0313E-3$	$0.0$	$7.2504E-2$
	گرمایی	$1.9068E-2$	$0.0$	$0.0$



## References:

1. J.F. Briesmeister, editor, "MCNP-A general Monte Carlo N-particle trans-port code, version 4c, LA-13709-M," Los Alamos National Laboratory, USA (2000).
2. M.J. Roth, "The preparation of input data for WIMS, 1967; M.J. Halsall, A summary of WIMSD4 input options, JEF-PC version 2, O.E.C.D., NEA Data Bank, France, (1997).
3. Experimental determination of material and geometrical buckling of ENTC sub-critical reactor, Experimental reactor physics group, Nuclear Engineering Department, Esfahan Nuclear Technology Center, Autumn (1369).
4. F.A. Valente, "A manual of Experiments in Reactor Physics," McMillan-New York (1963).
5. J.R. Lamarsh, "Introduction to nuclear reactor Theory," Addison-Wesley (1972).

## ۶. بحث و نتیجه‌گیری

پس از مدل‌سازی رآکتور با کدهای محاسباتی، محاسبه‌ی ضریب تکثیر بی‌نهایت  $K_{\infty}$ ، با تغییر چگالی کننساز نشان داد که بیش ترین مقدار برای  $K_{\infty}$  در چگالی  $1 \text{ g/cm}^3$  و در حدود  $0.95$  است. در ادامه تغییرات  $K_{\infty}$  بر حسب تغییر گام شبکه محاسبه شد و همان‌گونه که انتظار می‌رفت  $K_{\infty}$  در گام  $4.7\text{cm}$  (گام فعلی رآکتور) بیشینه مقدار  $0.9528$  را داشت. سپس با انجام محاسبات حالت بحرانی، تغییرات ضریب تکثیر مؤثر  $K_{\text{eff}}$  بر حسب ارتفاع آب به دست آمد که نشان داد که در حضور چشم‌های خارجی، دارای بیشینه مقدار  $0.873$  است. این پارامتر با مقدار تجربی نیز مقایسه شد و اختلاف قابل قبولی برابر  $2.5\%$  را نشان داد. هم‌چنین مقدار واکنش‌پذیری چشم‌های برابر  $(\Delta k/k) = 0.035$  تعیین گردید. در ادامه، مدل‌سازی با کد MCNP4C برای دو موقعیت مختلف چشم‌های خارجی انجام شد. در هر حالت رفتار توزیع شار از معادلات پخش تبعیت می‌نمود. همان‌گونه که نتایج نشان داد، با جابه‌جا کردن مکان چشم‌های خارجی از کانال مرکزی به کناره‌ی قلب، رفتار کلی شار شعاعی تغییر نکرده و از تابع بسل پیروی می‌کند. اما رفتار توزیع شار محوری از تابع نمایی به تابع کسینوسی تغییر می‌کند. لازم به ذکر است که به علت تأثیر نقاط نزدیک به چشم‌های و مرز در رفتار شار نوترون، در برآش داده‌ها این نقاط در نظر گرفته نشد. مقایسه‌ی مقادیر تجربی و محاسباتی نشان داد که اختلاف مقادیر محاسبه شده و اندازه‌گیری شده برای ضریب تکثیر، انحنای شار محوری و شعاعی به ترتیب برابر  $2.5\%$ ،  $3\%$  و  $12\%$  است. با توجه به میزان خطای محاسبات و اندازه‌گیری که در جدول ۲ آورده شده است، این مقدار اختلاف در محدوده‌ی خطای و قابل قبول می‌باشد.